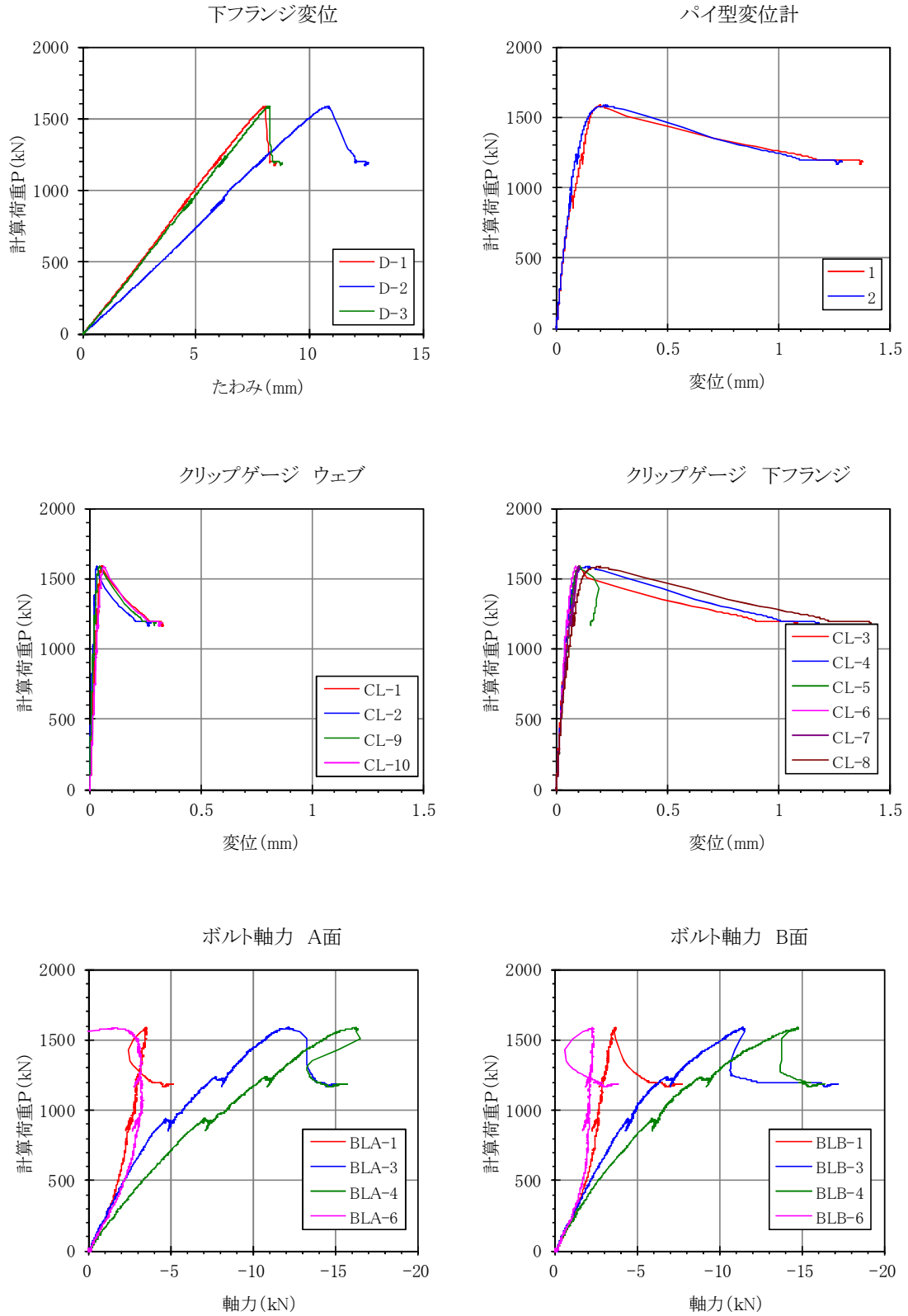
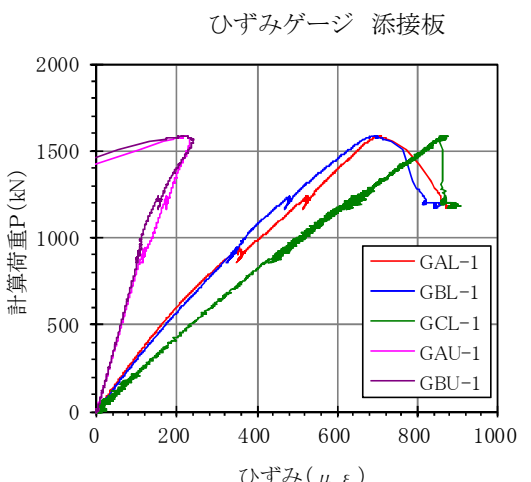
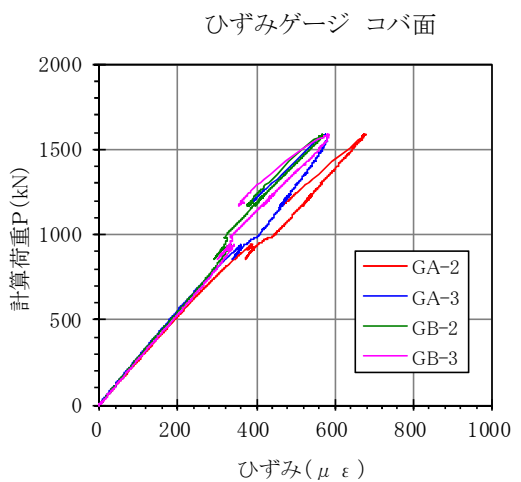
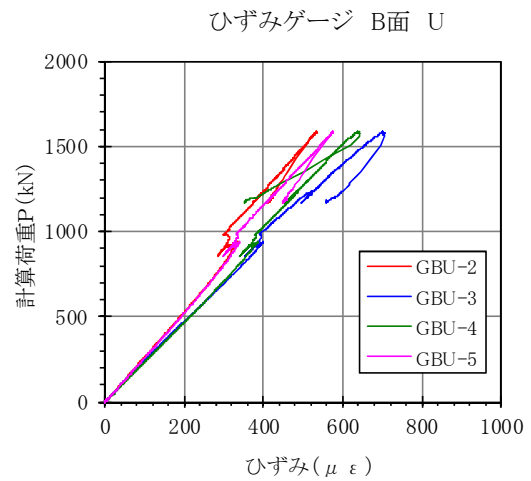
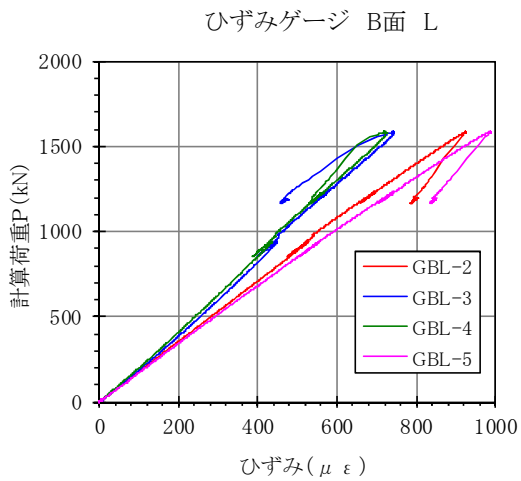
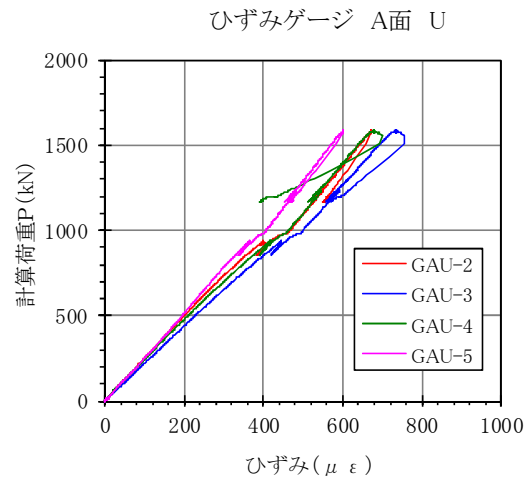
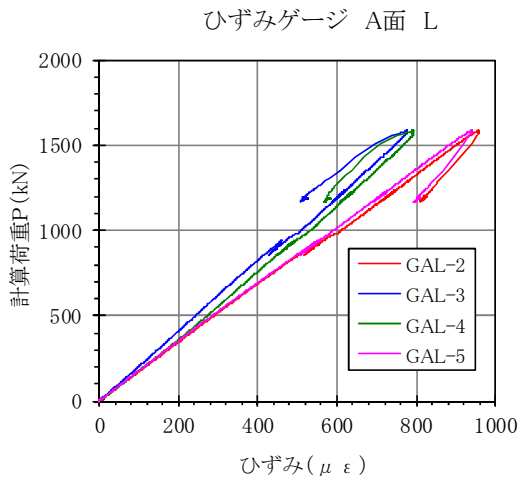


資料-2 桁曲げ試験結果

2.1 供試体G1

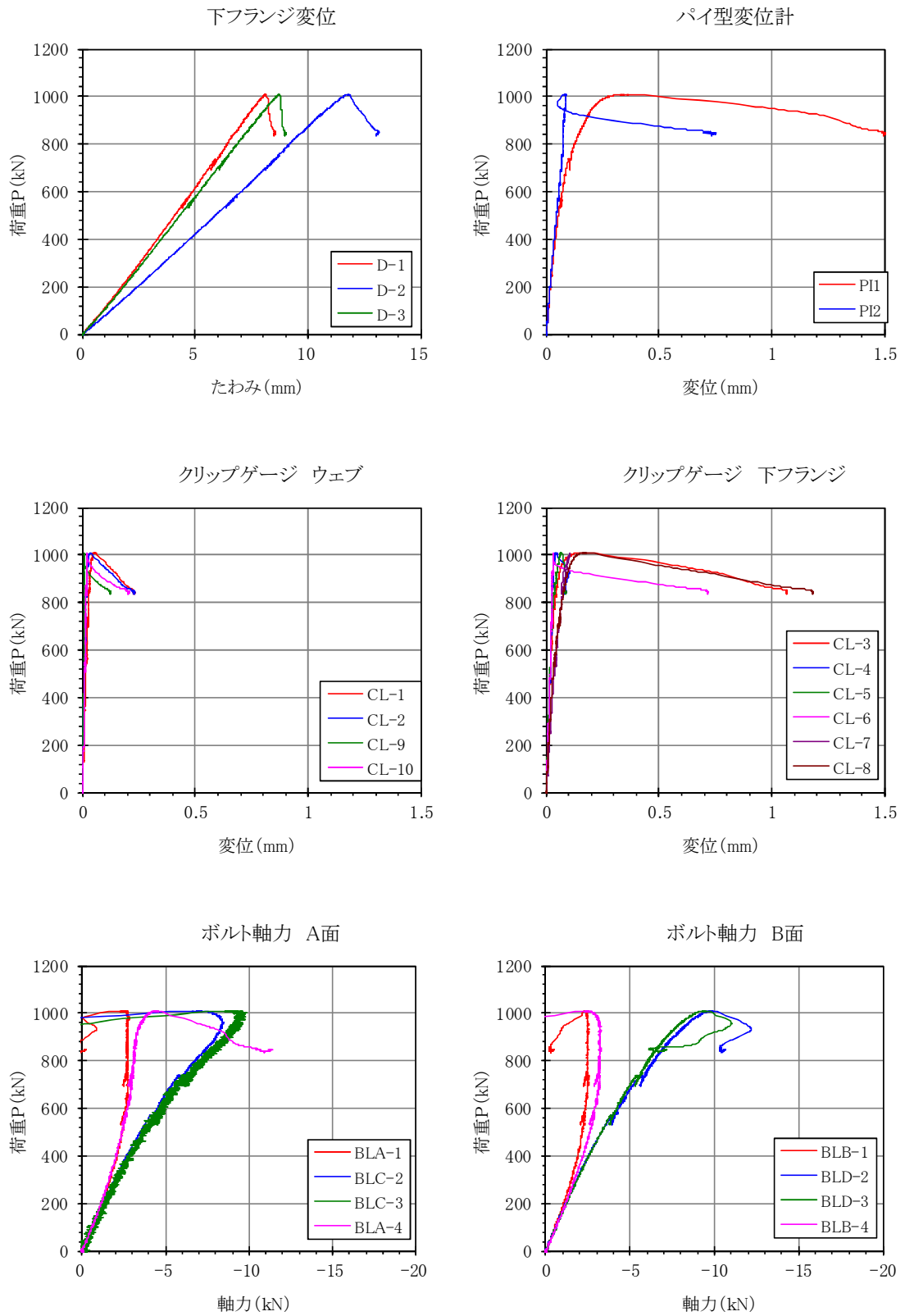


資料図- 2.1-1 曲げ試験結果 (荷重Max : 1581kN 変位, ボルト軸力 供試体G1)

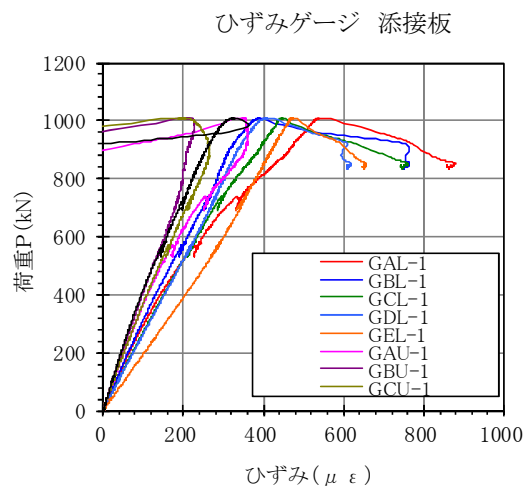
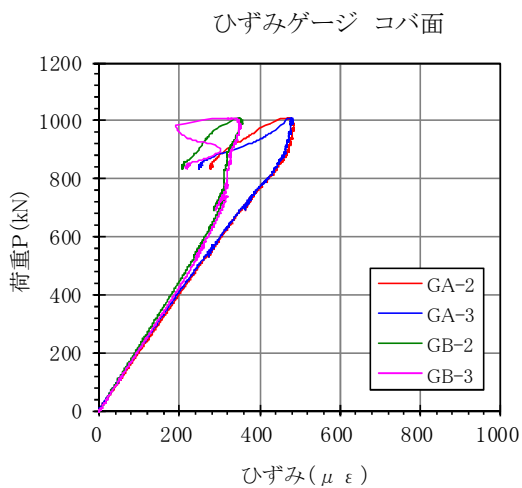
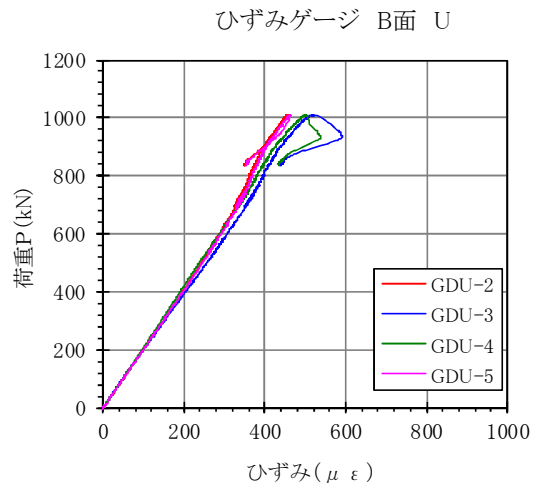
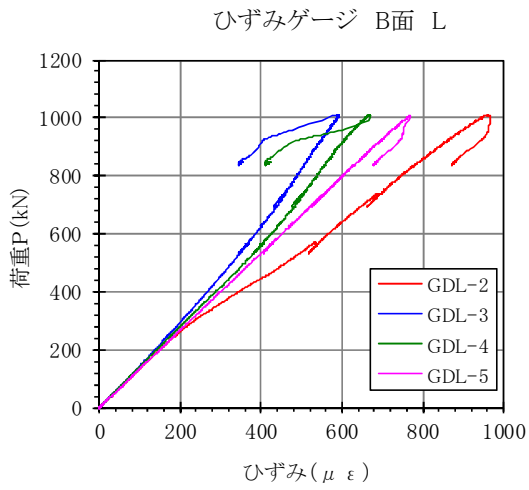
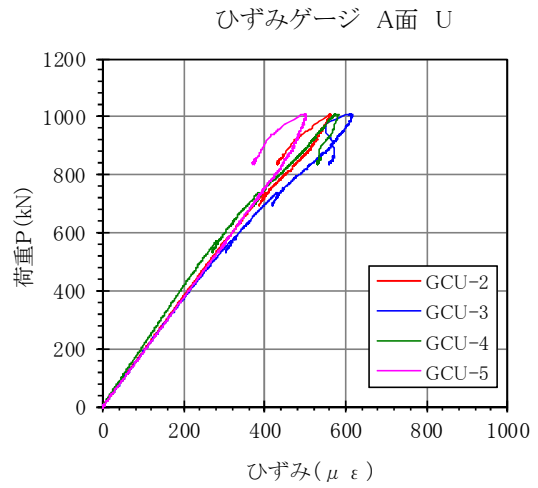
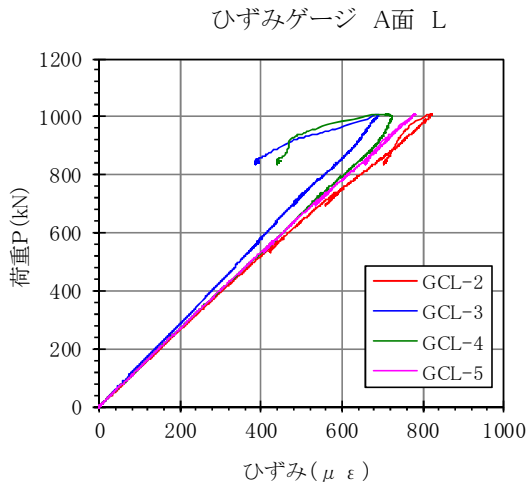


資料図- 2.1-2 曲げ試験結果 (荷重Max : 1581kN ひずみ 供試体G1)

2.2 供試体G2

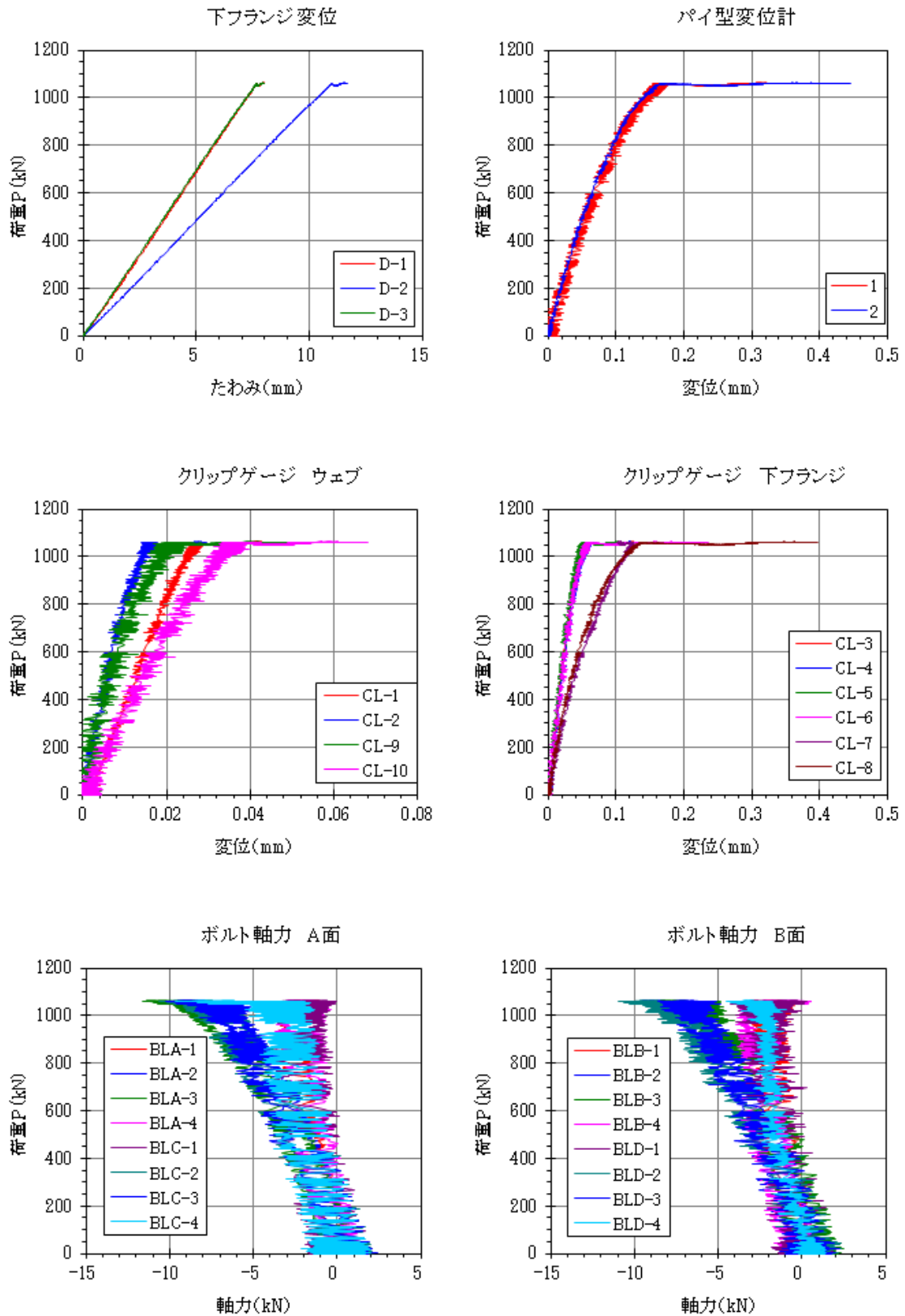


資料図- 2.2-1 曲げ試験結果 (荷重Max : 2183kN 変位, ボルト軸力 供試体G2)



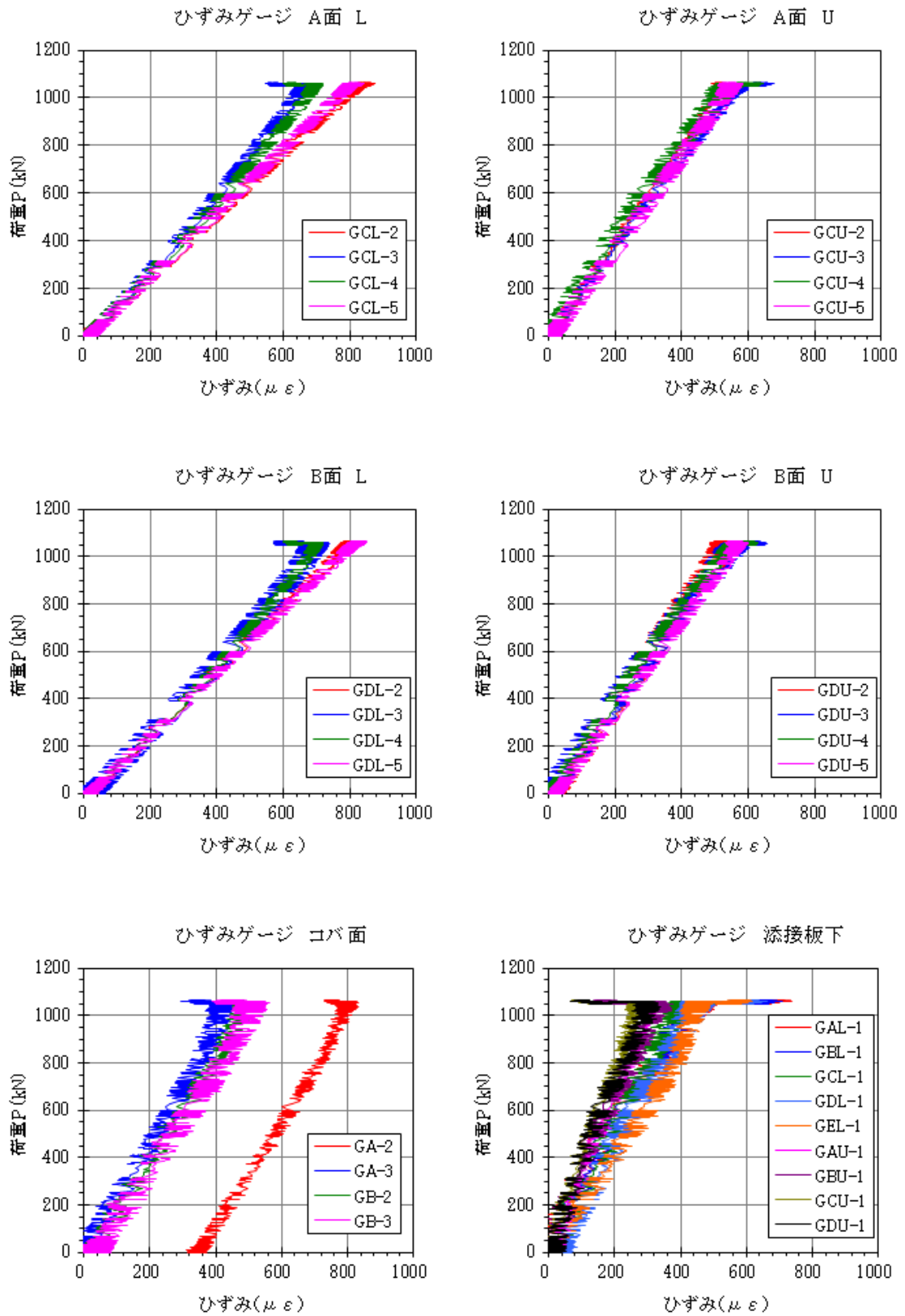
資料図- 2.2-2 曲げ試験結果 (荷重Max : 2183kN ひずみ 供試体G2)

2.3 供試体G2-2



資料図- 2.3-1 曲げ試験結果 (荷重Max : 2422kN 変位, ボルト軸力 供試体G2-2)

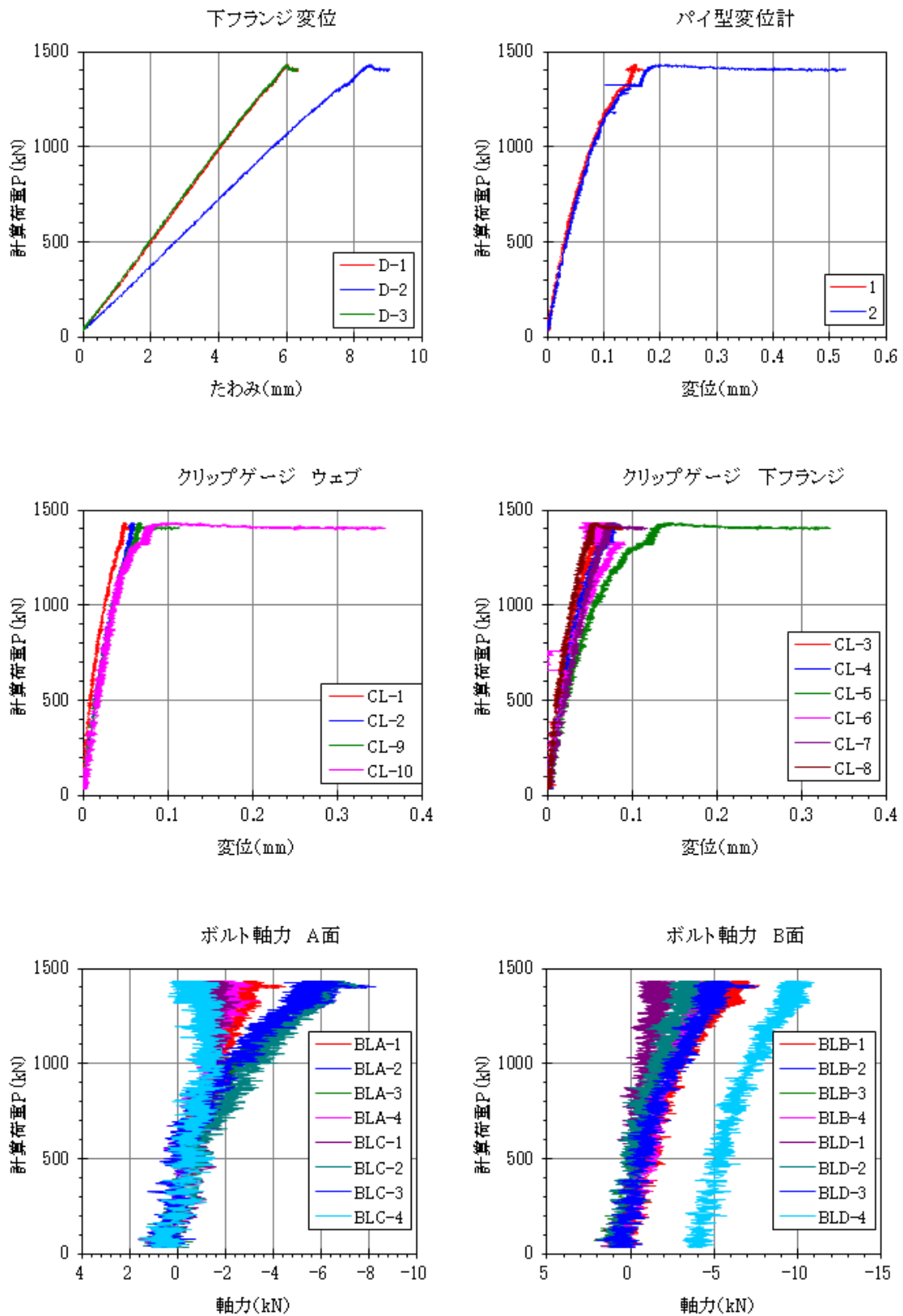
※供試体G1, G2と比べて横軸のぶれが大きいのは、試験環境の違いによりノイズレベルがやや大きかったためである。



資料図- 2.3-2 曲げ試験結果 (荷重Max : 2422kN ひずみ 供試体G2-2)

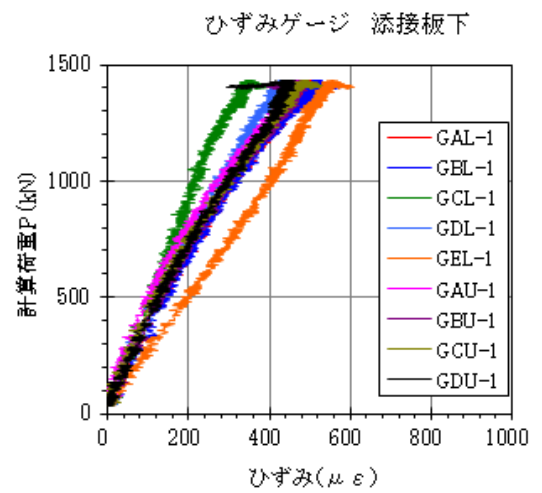
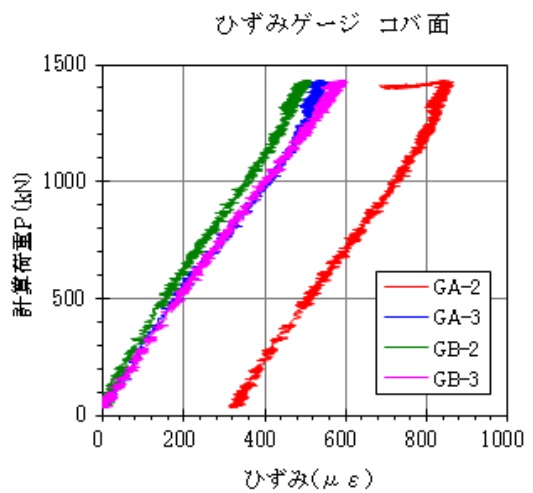
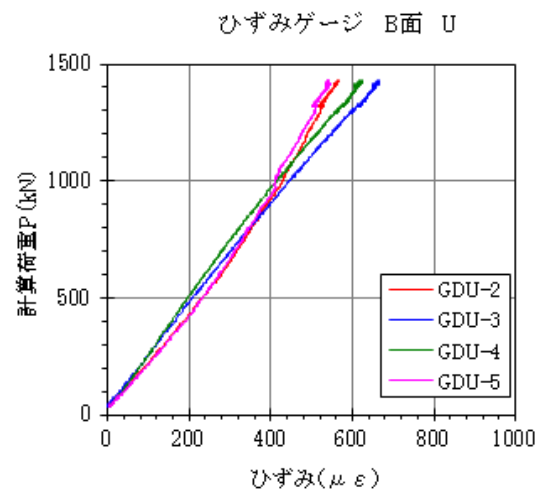
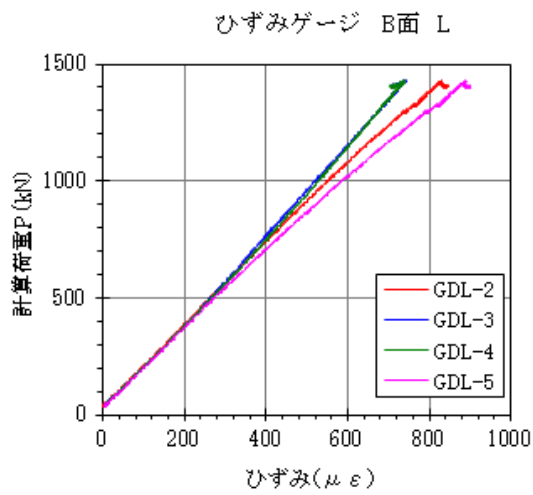
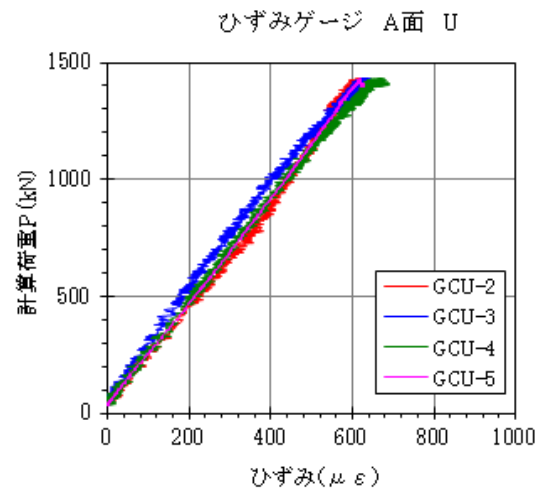
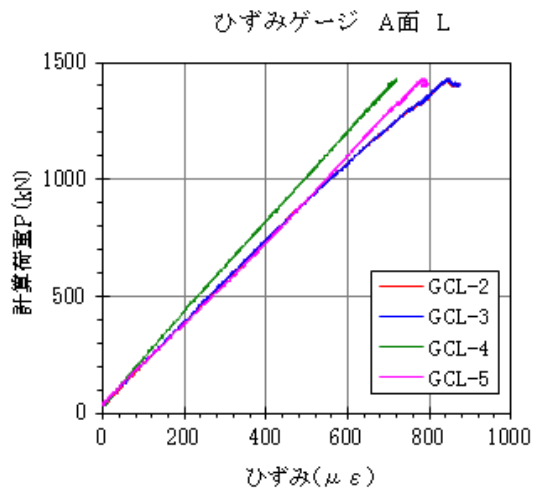
※供試体G1, G2と比べて横軸のぶれが大きいのは、試験環境の違いによりノイズレベルがやや大きかったためである。

2.4 供試体G3



資料図- 2.4-1 曲げ試験結果 (荷重Max : 1432kN 変位, ボルト軸力 供試体G3)

※供試体G1, G2と比べて横軸のぶれが大きいのは、試験環境の違いによりノイズレベルがやや大きかったためである。



資料図- 2.4-2 曲げ試験結果 (荷重Max : 1432kN 変位, ボルト軸力 供試体G3)
 ※供試体G1, G2と比べて横軸のぶれが大きいのは、試験環境の違いによりノイズレベルがやや大きかったためである。